

## 선형 전동기의 상전류 조정을 통한 토크리플 저감법

김민재, 임재원, 정현교

서울대학교

### Current Variation Method for Reducing Torque Ripples of Linear Motor

Kim Min-Jae, Lim Jaewon, Jung Hyun-Kyo

Seoul National University

**Abstract** - Linear motor is an energy conversion device which makes kinetic energy from electrical energy. This paper presents a method to reduce torque ripples by variation of the current. The torque ripples are basically caused by detent force so this method has a focus on reducing detent force. The torque ripples were calculated by finite element method.

#### 1. 서 론

선형기는 18세기에 개발되어 산업현장에서 널리 사용되고 있는 기기로 선형이란 말은 그 움직임이 직선의 궤적을 따름을 의미한다. 선형기의 동작 원리는 회전기의 동작원리와 거의 동일하다. 선형기가 회전기와 비교해서 가지는 장점은 선형운동에너지를 생성할 경우, 회전기는 크랭크축이나, 스크류 및 기어 시스템 등이 필요하지만, 선형기는 다른 기구들이 필요하지 않다는 점이다.

디텐트력은 널리 알려진 선형기의 문제점이다. 디텐트력은 자석과 코어와의 자력으로 인한 인력(引力)을 의미하며, 부하 동작 시 토크리플의 주요 원인이 된다. 디텐트력은 크게 두 가지로 나뉘어 진다. 코킹포스가 그 첫 번째이며 엔드아펙트력이 두 번째이다. 코킹포스는 회전기나 선형기에서 일어나는 현상이지만, 엔드아펙트력은 선형기에서만 일어나는 현상이며, 이는 선형기에는 회전기와 달리 끝단(End)가 존재하기 때문이다. 지금까지 엔드아펙트력을 없애는 많은 방법들이 제시되어 왔지만, 대부분의 방법들은 기기를 제작하기 전에 적용할 수 있는 방법들이었다. 따라서 선형기를 제작한 이후, 예상외의 토크리플이 생성된다면 이를 감소시키는 것은 어려운 일이었다. 이 논문에서는 이미 제작된 선형기의 토크리플을 줄이는 방법을 소개하고 있다. 해당 방법을 사용하면, 선형기 자체를 처음부터 제작하는 것이 아닌 인버터 등을 교체함으로써, 토크리플을 줄일 수 있으므로 기기재 설계(再設計) 및 재제작(再製作) 때문에 생성되는 비용을 줄일 수 있을 것이다.[1]-[3]

#### 2. 본 론

##### 2.1 디텐트력 및 엔드아펙트력 분석

논문에서 제시하는 모델은 기본적인 평판형 선형 전동기로서, 2방렬 형태의 2극 3상의 모듈을 포함하고 있다. 해당 기기의 형태는 그림 1에서 확인할 수 있으며, 표 1은 그 제원을 나타낸다. 일정한 동작속도는 기기로 인해 생성되는 EMF를 사인형태로 만들며, 출력은 그림 2에서 보는 바와 같이 큰 폭의 리플을 가진다.

###### 2.1.1 정격 전류에서의 추력

정격에서의 토크리플은 그림 2에서 보는 바와 같다. 토크리플의 피크 대 피크값은 약 377[N]이며 정격 추력의 37.7[%]에 해당한다. 이러한 큰 변동 폭은 시스템을 불안정하게 할 것이므로 감쇄되어야 할 부분이다.

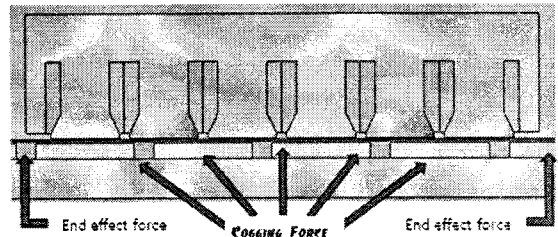


Fig 1. 선형 전동기의 형상

&lt;표 1&gt; 선형 전동기의 제원

Item	Value	Item	Value
Output Power	2[kw]	Pole/Phase	2poles/3phase
Stroke	5000[mm]	Slot pitch /Pole pitch	80mm /120mm
Operating Freq	1000[hz]	Average Velocity	2[m/s]
# of phases	3	Turn/phase	700[turn/phase]
Slot Width	30[mm]	Slot Pitch	80[mm]
Pole Width	100[mm]	Pole Pitch	120[mm]
Core Material	Steel 1010	Magnet Material	Ndfe40

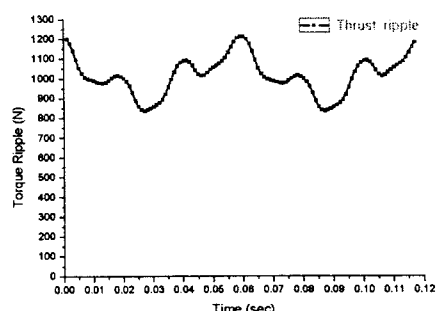


Fig 2. 정격에서의 추력리플

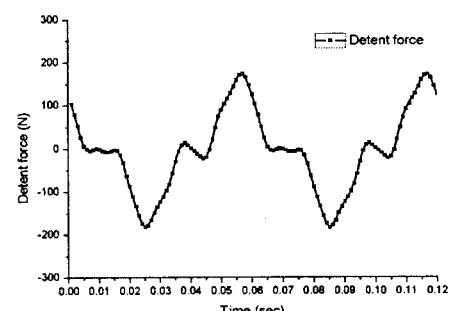


Fig 3. 무부하 상태에서의 디텐트력

### 2.1.2 무부하 상태에서의 디텐트력

무부하 시의 디텐트력을 그림 3에서 보는 바와 같이 일정한 상수나 사인형태의 파형은 아니지만, 주기적이다. 여기서 코킹포스는 아래와 같이 표현될 수 있다.

$$F_c = F_c(w_c t) \quad (1)$$

이 때의 엔드이펙트력은 다음의 형태로 표현될 수 있다.

$$F_e = F_e(w_e t) \quad (2)$$

디텐트력은 코킹포스 및 엔드이펙트력의 합이므로 다음과 같다.

$$F_d = F_c + F_e \quad (3)$$

그림 3에서 보는 것과 같이 디텐트력의 피크 대 피크 값은 357[N]이다 ( $w_c$  = 코킹포스 각속도,  $w_e$  = 엔드이펙트력 각속도).

### 2.1.3 무부하 상태에서의 코킹포스

그림 4에서는 치에 의한 영향만 보여주고 있다. 시뮬레이션은 고정자의 끝단을 늘리는 방법으로 실행되었다. 이 경우, 디텐트력의 피크 대 피크값은 130[N]에 달한다. 식 (1)에서  $w_c$ 는 극피치 및 슬롯피치 GCD에 역으로 비례하며 아래의 식으로 나타내어질 수 있다.

$$w_c = \frac{1}{T_c} \times 2\pi\omega \quad \frac{1}{GCD(\text{pole pitch} \& \text{slot pitch})} \quad (4)$$

또한 코킹포스와 동기주파수의 주기는

$$T_c = \frac{T_s}{\frac{240[\text{mm}]}{GCD(\text{pole pitch} \& \text{slot pitch})}} \quad (5)$$

의 관계를 가지며 [4], 이 때 극피치 및 슬롯피치의 최대 공약수는 40[mm]이고 동기 시간 즉 240mm에 해당하는 0.12초동안에 코킹 토크의 최대값은 6회 나타나야 한다. 그림 4에서 그 최대값이 6회 발생됨을 확인할 수 있다. ( $T_c$  = 코킹포스 주기,  $T_s$  = 동기 전류의 주기).

### 2.1.4 무부하 상태에서의 엔드이펙트력

그림 5는 엔드이펙트력의 영향만을 보여준다. 해당 결과값은 무부하상태의 디텐트력에서 치에 의한 영향인, 코킹포스를 차감함으로서 얻어졌으며, 엔드이펙트력의 주기는 극피치마다 생성된다. 이는 상대적으로 매우 큰 이동자가 각 극피치마다 동일한 힘을 받게 되기 때문이며 따라서,

$$w_e = 2 \times w_c \quad (6)$$

$$T_e = \frac{T_s}{2} \quad (7)$$

이다 ( $w_c$  = 동기 각속도,  $T_s$  = 동기주기).

여기에서 피크 대 피크값은 대략 250[N]에 해당하며, 이는 치에의한 영향인 코킹포스 보다 지배적이다.

식 (6)에서는  $T_c = 1/6T_s$  이었고, 식 (7)에서는  $T_e = 1/2T_s$  이었다. 따라서 다음과 같은 결과를 유추해낼 수 있다.

$$T_e = 3 \times T_c \quad (8)$$

여기서 중요한 점은  $T_e$ 가  $V*I$ 로 나온 리플의 주기와 동

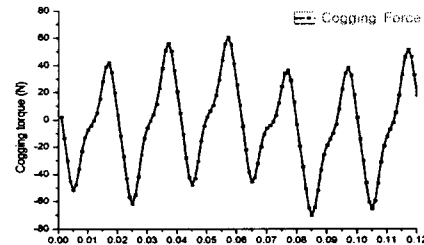


Fig 4. 코킹포스

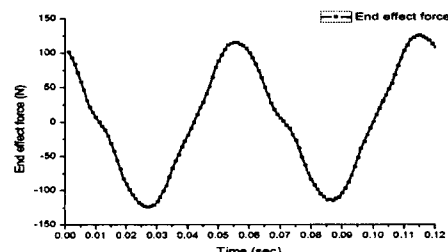


Fig 5. 엔드이펙트력

<표 2> 상별 V\*I 최대값이 나타나는 전기각

	상별 V*I 최대값이 나타나는 전기각	
A상	0.58π	1.58π
B상	0.25π	1.25π
C상	0.92π	1.92π

<표 3> 추력 리플이 최대 및 최소를 갖는 시간 및 전기각

	시간	전기각
최소값	0.03	0.5π
최대값	0.06	1π

일하다는 것이다. 만약 두 사이 위상차가 전기각 'π' 이라면, 리플은 현저하게 줄어들게 된다.

### 2.2 디텐트력을 줄이기 위한 방법

논문에서 제시하는 디텐트력을 줄이기 위한 방법은 3상 중 특정 상에 대하여 상전류를 변화시키는 것이다. 상의 선택은 A&B, B&C, C&A 혹은 상 A, 상 B, 상 C가 될 수 있으며 그 상의 전류크기 변화를 통해서 V\*I의 리플의 변화를 야기할 수 있다. 따라서 디텐트력의 증분을 감소시키고 감소분을 증가시키는 것이다. 한편으로는 잘못된 선택은 오히려 리플을 악화시킬 것이다.

#### 2.2.1 역기전력 분석

그림 6과 그림 7에는 역기전력 및 같은 크기의 상전류를 흘렸을 때, V\*I리플을 보여준다. 그림 6을 보면, 역기전력이 서로 평형을 이루지 않은 모습을 확인할 수 있는데, 이는 이동자의 끝단 때문에 각 상이 동일한 자가저항의 자기회로를 지나지 않기 때문이다. 만약 동일한 크기의 상전류를 흘려준다면(q축만) 출력은 그림 7의 형태로 나타나며, 상별 V\*I의 최대값은 표 2와 같다.

이러한 패턴은 주기시간인 전기각 2π에 해당하는 0.12초마다 반복될 것이며, 그림 2 및 표 3에서 보는 바와 같이 전기각 0.5π 및 1.5π에서 최저값을 가지고, 전기각 1π 및 1.83π에서 최대값을 가지는 리플을 줄이기 위해서는 A상 전류를 크게하고 C상의 전류를 작게 하면 될 것이다.

이와 같은 조정이 가능한 기본적인 이유는 다음과 같다. 동기 각속도는  $w_c$ 이며 식 (6)에서  $w_e = 2 \times w_c$ 이다. 논문에서의 모델과 같이 SPM은 q축에만 전류를 흘려주면

되며, 따라서  $V*I$ 는  $\sin^2x$ 나  $\cos^2x$ 의 꼴이되어 결국  $\cos(2x)$  형태의 주파수 즉 2배의 주파수를 가진다 이 주파수는  $w_e$ 와 동일하며 A,B,C 상은 위상차가 120도이므로 특정 상을 선택해서 크기를 변형시키면 동일 주파수의 특정 상은 약화시키고 다른 상은 강화시킬 수 있다. 이는 3상 전류의 합으로 어떤 상의 동일각속도 회전자계를 만들 수 있는 것과 유사한 원리이다. 따라서 EMF 결과 중 B상의 영향을 줄이고 A상의 영향을 늘이면 더욱 평탄한 토크리플을 얻게 된다.

### 2.2.2 상 A 및 상 B의 변화

그림 8에서는 A상 및 C상의 전류를 각각 1.3배 하고, 1/1.3배한 결과를 보여주고 있다. 이를 통해서 리플은 거의 50% 수준으로 감소한 것을 확인할 수 있다.

### 2.2.3 전류조정 전후의 고조파 변화

그림 9는 추력의 FFT 전류조정 전후의 고조파 변화를 나타낸다. 해당 결과가 보여주는 요지는 1고조파가 크게 줄었다는 것이다. 이는 위에서 언급한 바와 같이 해당 1고조파의 주파수가  $V*I$  리플의 주파수이고, 엔드 이펙트력의 주파수이기 때문이다. 하지만, 코킹포스는 그림에서 보는 바와 같이 거의 변화가 없다. 이것은 코킹포스 주파수는 엔드이펙트력 주파수의 3배에 해당하므로 그 크기를 감쇄시키는 것은 이 방법으로는 불가능하기 때문이다.

## 3. 결 론

이 논문은 상전류를 조정함으로써 토크리플을 줄이는 방법을 제시하고 있다. 해당방법을 적용하기 위한 기본 모델은 매우 간단하며 따라서 상의 선택조합도 6가지로 간단하다. 따라서 다상의 복잡한 모델이 선택된다면 고려해야 할 요소가 훨씬 많아질 것이다. 만약 엔드이펙트의 영향이 매우 큰 모델에 대해서 이와 같은 방법이 취해진다면, 매우 효과적일 것으로 예상된다.

### [참 고 문 헌]

- [1] Jacke F. Giersas and Zbigniew J.Piech, Linear Synchronous Motors, Transportation and Automation Systems.
- [2] Jaewon Lim, Hyun-Kyo Jung, Phase set shift effect for cogging torque reduction in linear motor, Maglev 2008, San Diego, USA
- [3] Sung Whan Youn, Jong Jin Lee, Hee Sung Yoon, and Chang Seop Koh, "A New Cogging-Free Permanent-Magnet Linear Motor", IEEE Trans. Magn., Vol.44, No. 7, July 2008, pp. 1785-1790
- [4] Nicola Bianchihi and Silverio Bolognani, "Design Techniques for Reducing the Cogging Torque in Surface-Mounted PM Motors", IEEE Trans., Vol. 38, No. 5, September/October 2002, pp 1259-1265

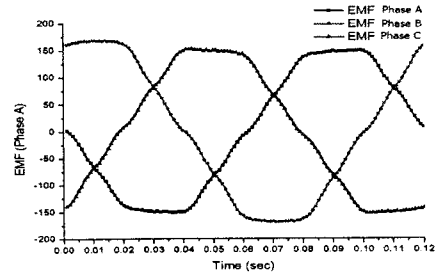


Fig. 6. 역기전력

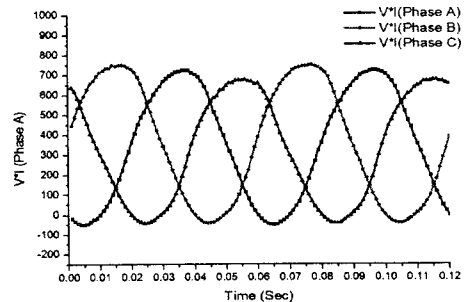


Fig. 7. 상별 V\*I

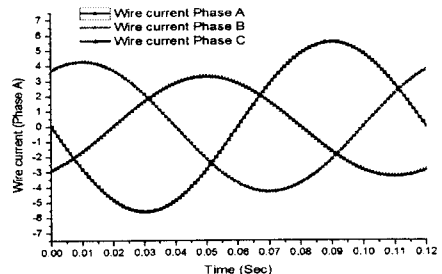


Fig. 8. 상전류

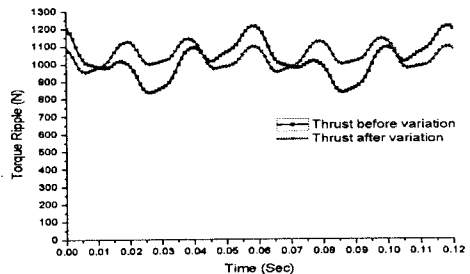


Fig. 9. 상 A 및 B의 전류 조정에 따른 추력

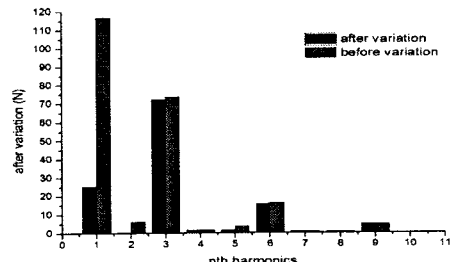


Fig. 10. 전류 조정후의 고조파 비교